

Физика топ-кварков на адронных коллайдерах

Слабоспицкий С.Р.

НИЦ “Курчатовский институт” - ИФВЭ

Москва, ФИАН, апрель 2020

Стандартная Модель

Три фундаментальных взаимодействий описывают наш мир

- Стандартная модель Сильное взаимодействие - квантовая хромодинамика - КХД
Электро-слабое взаимодействие - EW
- Гравитация

СМ: поля материи - кварки и лептоны (и соответствующие античастицы)

кварки $\begin{pmatrix} u \\ d \end{pmatrix} \begin{pmatrix} c \\ s \end{pmatrix} \begin{pmatrix} t \\ b \end{pmatrix}$ лептоны $\begin{pmatrix} \nu_e \\ e^- \end{pmatrix} \begin{pmatrix} \nu_\mu \\ \mu^- \end{pmatrix} \begin{pmatrix} \nu_\tau \\ \tau^- \end{pmatrix}$

векторные бозоны (переносчики взаимодействий)

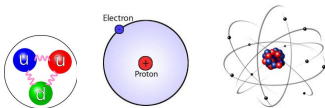
$$\gamma, W^+, W^-, Z, g$$

бозон Хиггса H

всего $N = 30$ фундаментальных частиц + гравитон (?)

Адроны

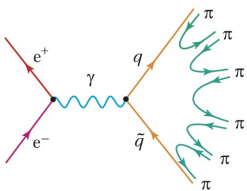
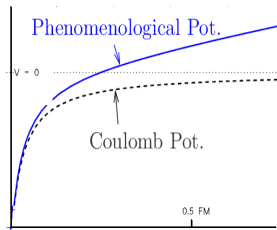
Вся наблюдаемая материя построена из кварков



Кварки не могут быть свободными (наблюдаемыми в установках) частицами. Рожденные кварки (и глюоны) за очень короткое время

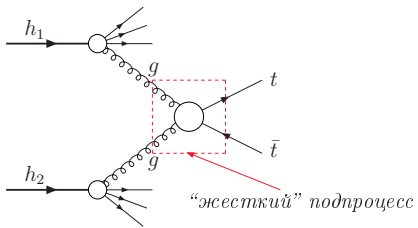
$$\tau_{hadr} \sim \frac{1}{\Lambda_{QCD}} \sim 10^{-25} \text{ сек}$$

переходят в адроны (“адроризация”)



Рождение адронов в партонной модели

Налетающий адрон для наблюдателя выглядит как пучок **свободных** партонов. При столкновении двух адронов “жесткое” взаимодействие кварков и глюонов описывается в рамках т.в. СМ



основная формула партонной модели

$$\sigma(h_1 h_2 \rightarrow R X) = \sum_{i,j} \int \hat{\sigma}(ij \rightarrow R) f_i^{h_1}(x_1) f_j^{h_2}(x_2) dx_1 dx_2 \quad (1)$$

где $f_i^{h_1}(x_1)$ и $f_j^{h_2}(x_2)$ - функции распределения партонов в адронах

ТОП-кварк - уникальный объект СМ

Почему мы любим t -кварк ?

Топ-кварк - уникальный объем Стандартной модели (СМ)

- самый тяжелый объект СМ (кварк)
- $m_t \simeq 172.5$ ГэВ и $|V_{tb}| \leq 1 \implies$ распадается до адронизации \implies нет “топ”-адронов !
- сохраняет информацию о спине (и поляризации)
- уникальная точность теоретических предсказаний СМ ($d\sigma, d\Gamma, BR \sim \mathcal{O}(1\%)$)
- связь с другими поколениями очень мала $|V_{td}| \simeq 0.008, |V_{ts}| \simeq 0.04$
- самая большая юкововская константа связи в СМ:

$$y_t = \frac{\sqrt{2}m_t}{v} \simeq 1$$

Взаимодействия t -кварков в СМ

Лагранжиан взаимодействия t -кварков в СМ

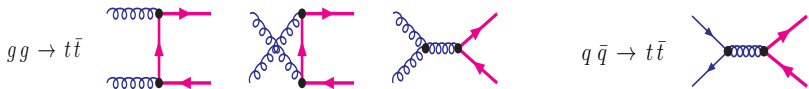
$$\begin{aligned} \mathcal{L}_{\text{SM}} = & -\frac{y_t}{\sqrt{2}} \bar{t} t H - g_s \bar{t} \gamma^\mu t^a t G_\mu^a - \frac{g}{\sqrt{2}} \sum_{q=d,s,b} \frac{V_{tq}}{2} \bar{t} \gamma^\mu (1 - \gamma_5) q W_\mu^+ \\ & - Q_t e \bar{t} \gamma^\mu t A_\mu - \frac{g}{2 \cos \vartheta_W} \bar{t} \gamma^\mu \left[\left(\frac{1}{2} - 2Q_t \sin^2 \vartheta_W \right) - \frac{1}{2} \gamma_5 \right] t Z_\mu + \text{h.c.} \end{aligned}$$

$$y_t = \sqrt{2} \frac{m_t}{v_{ew}} \approx 1, \quad v_{ew} \approx 246 \text{ ГэВ}$$

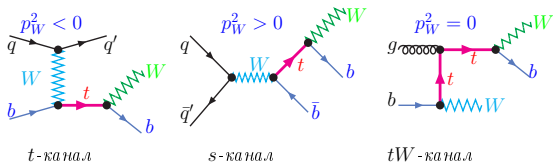
где v_{ew} - электрослабый масштаб - вакуумное среднее поля Хиггса.

Основные механизмы образования t -кварков в СМ

- рождение t -кварков в КХД



- рождение t -кварков в электрослабой терии (EW)



- особенности описания рождения в адронных столкновениях (парточная модель)
- БАК - фабрика t -кварков

Распады t -кварков в СМ

Основная мода распада t -кварка $t \rightarrow b W^+$; $W^+ \rightarrow q \bar{q}', \ell \nu$
 ширина распада (пренебрегая m_b^2/m_t^2)

$$\Gamma_{tot} = \Gamma_t = \frac{G_F m_t^3}{8\sqrt{2}\pi} \left(1 - \frac{M_W^2}{m_t^2}\right)^2 \left(1 + 2 \frac{M_W^2}{m_t^2}\right) \left[1 - \frac{2\alpha_s}{3\pi} \left(\frac{2\pi^2}{3} - \frac{5}{2}\right)\right]$$

$$G_F = 1.16637 \times 10^{-5} \text{ ГэВ}^{-2}, \quad m_t = 172.5 \text{ ГэВ}, \quad \alpha_s(m_t) = 0.118$$

$$\Rightarrow \Gamma_t \simeq 1.35 \text{ ГэВ} \gg \Lambda_{QCD} \simeq 200 \text{ МэВ}$$

t -кварк распадается до того, как успеет образовать адроны $(t\bar{t})$, $(t\bar{q})$, (tqq')
 распады t -кварка на конечные состояния определяются W -бозоном

$$BR(t \rightarrow b \ell^+(e, \mu, \tau) \nu) \simeq 33\% \quad BR(t \rightarrow b q q') \simeq 67\%$$

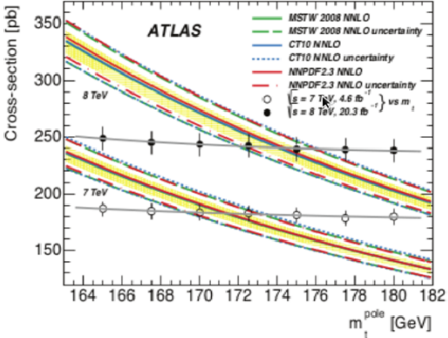
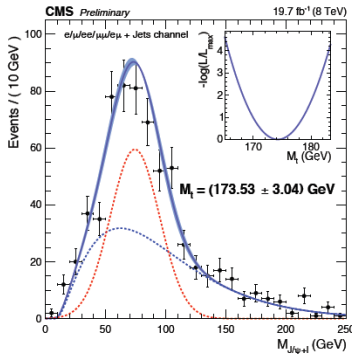
Для пары $t\bar{t}$ вероятности распада на различные конечные состояния равны

$$\begin{aligned} t\bar{t} \rightarrow b \bar{b} q \bar{q}' q'' \bar{q}''' &\simeq 46.2 \% \\ t\bar{t} \rightarrow b \bar{b} q \bar{q}' \ell^+ \nu + b \bar{b} q \bar{q}' \ell^- \bar{\nu} &\simeq 43.5 \% \\ t\bar{t} \rightarrow b \bar{b} \ell^+ \ell^- \nu \bar{\nu} &\simeq 10.3 \% \end{aligned}$$

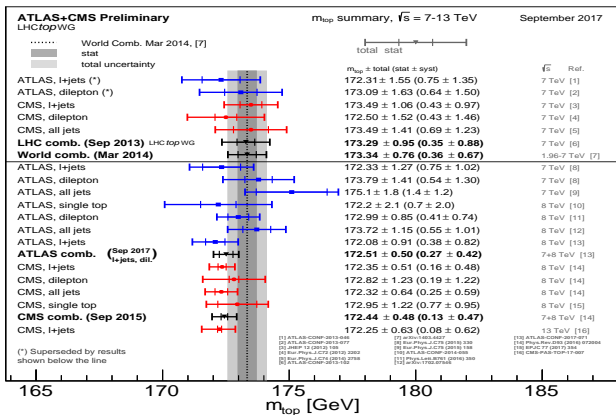
конечные состояния характеризуются наличием: 2-х b -струй; 0, 1, 2 “изолированных”
 заряженных лептонов; “потерянной” энергией (нейтрино) и несколькими адронными
 струями (не от b кварков)

Измерения массы t -кварков

- $m_t \Leftarrow M_{inv}(j_b'' W''(jj))$
- $m_t \Leftarrow M_{inv}(j_b M_T(\ell E_T^{miss}))$
- $m_t \Leftarrow M_{inv}(j_b \ell^\pm), M_{inv}(\ell^+ \ell^-)$
- $m_t \Leftarrow M_{inv}(\ell^\pm J/\psi)$
- $m_t \Leftarrow \sigma(pp \rightarrow t\bar{t}) = f(m_t)$



Ізмірення маси t -кварков



$$m_{\text{top}}(\text{CDF}, D\emptyset, \text{ATLAS}, \text{CMS}) = 173.34 \pm 0.76(0.27 \pm 0.24 \pm 0.67) \text{ ГэВ}$$

$$\text{CMS} \Rightarrow \Delta m_t = m_t - m_{\bar{t}} = -0.15 \pm 0.19(\text{stat}) \pm 0.09(\text{syst})$$

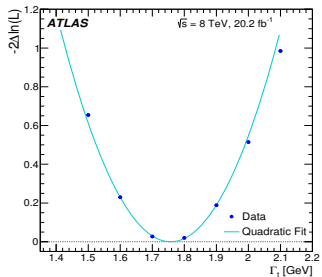
Измерения Γ_{tot} - полной ширины t -кварка

- $\Gamma_{tot}^{SM} = 1.39 \text{ ГэВ}$
- традиционные методы (шинина пика в $M_{inv}(bW)$) не дают приемлемой точности

- ATLAS - $M_{inv}^{exp}(j_b \ell^\pm)$ сравнение с моделированием событиями при различных Γ_{tot}
 $\Gamma_{tot} = 0.1, 0.2, 0.3, \dots 5.0 \text{ ГэВ}, \Delta\Gamma = 0.1 \text{ ГэВ}$

- CMS - косвенное измерение

$$\Gamma_{tot} = \frac{\sigma_{t-ch}^{exp}}{\mathcal{B}(t \rightarrow Wb)} \times \frac{\Gamma^{\text{th}}(t \rightarrow bW)}{\sigma_{t-ch}^{\text{th}}}$$



эксперимент	$\Gamma_t^{exp}, \text{ ГэВ}$	Γ_{tot}^{SM}
ATLAS	$\Gamma_t = 1.76 \pm 0.33(\text{stat.})^{+0.79}_{-0.68} (\text{syst.})$	1.39 ГэВ
CMS	$\Gamma_t = 1.36 \pm 0.02(\text{stat.})^{+0.14}_{-0.11} (\text{syst.})$	

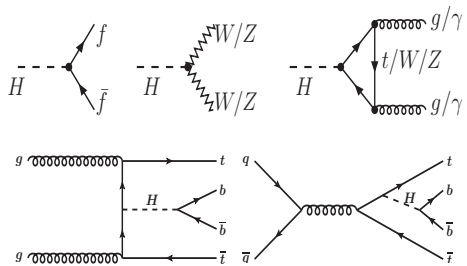
Бозон Хиггса и t -кварк

Уникальность бозона Хиггса

- ◊ в рамках СМ все константы взаимодействия Хиггса вычисляются ($g, v, m_t, m_{W/Z}$)

$$f\bar{f}H \Leftrightarrow y_f = \sqrt{2} \frac{m_f}{v}; \quad y_t(m_t = 172.5 \text{ ГэВ}) = 0.99, \quad y_b(m_b = 4.5 \text{ ГэВ}) = 0.02$$

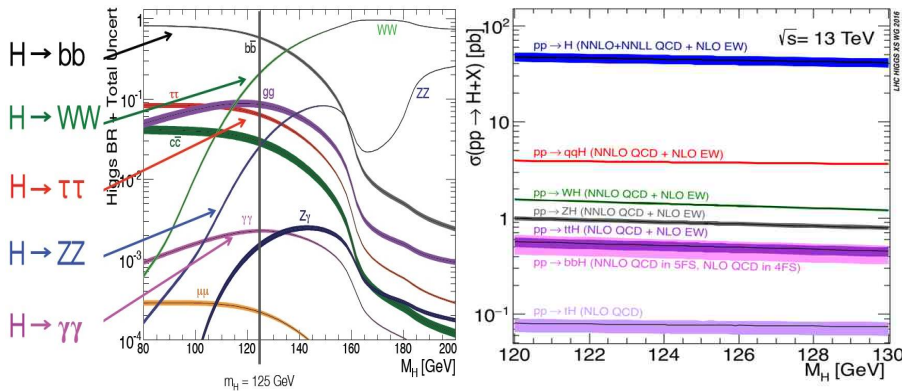
- ◊ взаимодействие - точеное и через петли



Бозон Хиггса и t -кварк

мода	$H \rightarrow b\bar{b}$	$H \rightarrow WW/ZZ$	$H \rightarrow gg$	$H \rightarrow \gamma\gamma$
BR	~ 58 %	~ 24 %	~ 8 %	~ 0.2 %

НО ! Основной вклад в инклюзивное сечение рождения Хиггса вносит аннигиляция глюонов - $gg \rightarrow H$ (петлевой вклад) !

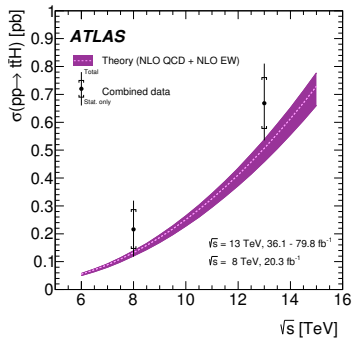


Бозон Хиггса и t -кварк

Параметр y_t можно измерять в реакциях парного и одиночного рождения t -кварков

$$\begin{aligned} pp \rightarrow t\bar{t} HX, \quad pp \rightarrow t HX \\ H \rightarrow b\bar{b}, WW^*, ZZ^*, \tau^+\tau^-, \gamma\gamma \end{aligned}$$

Реконструированные сигнальные события - высокая статистическая значимость ($\sigma > 5(6)$)



	ATLAS	CMS
y_t	1.15 ± 0.12	$1.26^{+0.31}_{-0.26}$

Взаимодействие бозона Хиггса с b -кварком

ATLAS и CMS провели измерения взаимодействия Хиггса с b -кварком в реакциях

$$pp \rightarrow H X, \quad H \rightarrow b\bar{b}$$

$$pp \rightarrow H V X, \quad H \rightarrow b\bar{b}, \quad V = W^\pm, Z$$

Результаты в виде отношения:

$$\mu_b = \frac{\sigma^{exp}(pp \rightarrow H X) \times BR(H \rightarrow b\bar{b})}{\sigma^{theor}(pp \rightarrow H X) \times BR(H \rightarrow b\bar{b})} = \frac{y_b^{exp}}{y_b^{SM}}$$

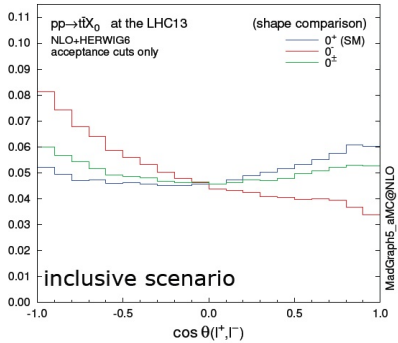
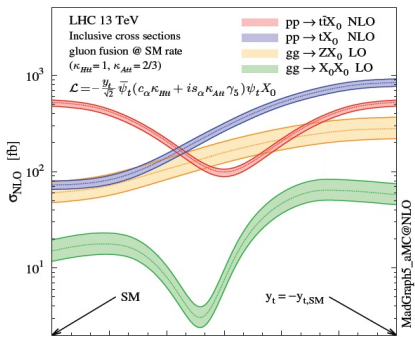
	$pp \rightarrow H W/Z X$	$pp \rightarrow H X$
CMS	1.01 ± 0.22	1.04 ± 0.20
ATLAS	$0.98^{+0.22}_{-0.21}$	1.01 ± 0.20

- прямое наблюдение/измерение петлевого вклада в рождении Хиггса
- юкововская константа связи Хиггса с фермионами согласуется с предсказаниями СМ

$$\mu_b \simeq 1.025 \pm 0.2, \quad y_t \simeq 1.20 \pm 0.25$$

Аномальное взаимодействие бозона Хиггса с t -кварком

$$\mathcal{L} = -\frac{y_t}{\sqrt{2}} \bar{\psi}_t (c_\alpha \kappa_{Htt} + i s_\alpha \kappa_{Att} \gamma_5) \psi_t X_0$$



Сечения рождения $t\bar{t}$ -кварков в СМ

Достигнут большой прогресс в описании рождения $t\bar{t}$ с учетом высших порядков теории возмущений (NNLO и NNLL)
при $m_t = 172.5$ ГэВ

\sqrt{s} (ТэВ)	$\sigma(\text{пб})$
7	$177.3^{+4.7}_{-6.8} (\text{scale}) \pm 9 (\text{PDF} + \alpha_s)$
8	$252.9^{+6.4}_{-8.6} (\text{scale}) \pm 11.7 (\text{PDF} + \alpha_s)$
13	$832.0^{+20}_{-28} (\text{scale}) \pm 35 (\text{PDF} + \alpha_s)$

основная неопределенность - PDF (возможно будет уменьшена после обработки новых данных)

⇒ БАК (LHC) – фабрика $t\bar{t}$ -кварков

$$\sqrt{s} = 13 \text{ ТэВ}$$

$$\mathcal{L}_{tot} = 100 \text{ фб}^{-1} = 10^5 \text{ пб}^{-1} \Rightarrow N(t\bar{t}) \simeq 8.3 \times 10^7 / \text{год}$$

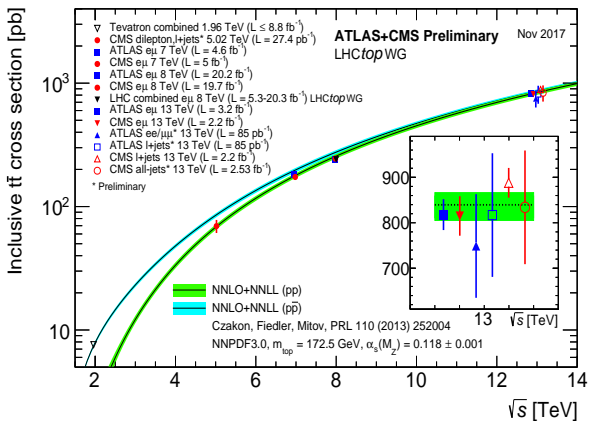
$$\mathcal{L}_{tot} = 250 \text{ фб}^{-1} = 2.5 \times 10^5 \text{ пб}^{-1} \Rightarrow N(t\bar{t}) \simeq 1.6 \times 10^8 / \text{год}$$

$$\mathcal{L}_{TOT} = 3500 \text{ фб}^{-1} = 3.5 \times 10^6 \text{ пб}^{-1} \Rightarrow N(t\bar{t}) \simeq 3.0 \times 10^9 / (2016-2035)$$

Полные сечения образования $t\bar{t}$ на БАК

сечения рождения пары $t\bar{t}$ измеряются в различных конечных состояниях состояниях:

$ee, \mu\mu, e\mu, \ell\tau_h, e/\mu + jets, all\ jets$

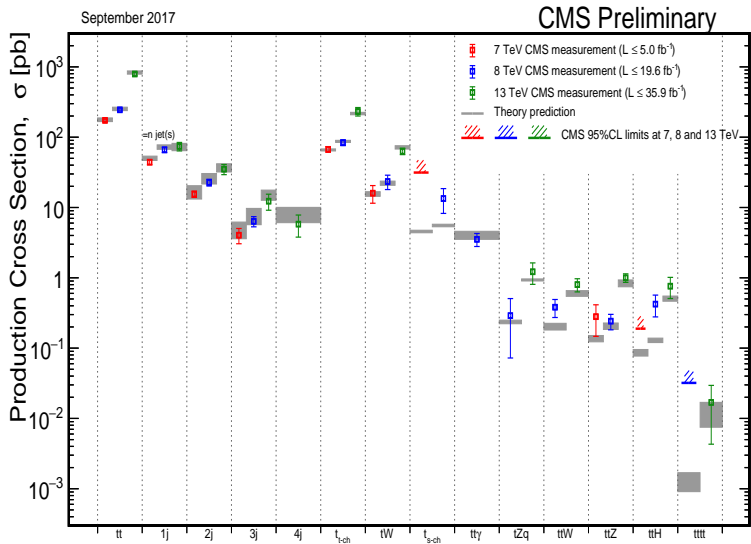


Полные сечения образования $t\bar{t}$ на БАК

совместной анализа двух экспериментов ("LHC Top Physics Working Group"):

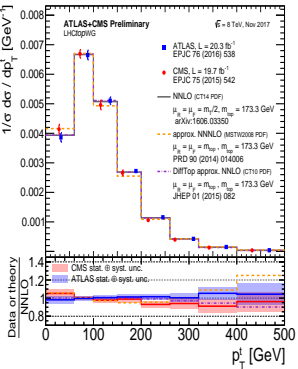
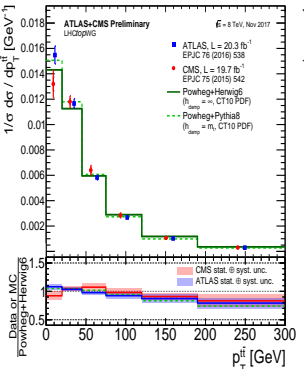
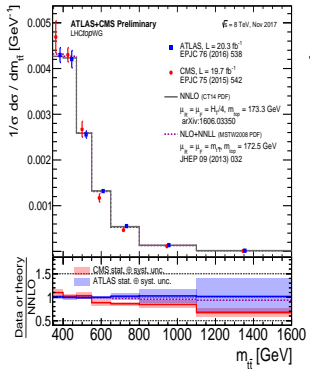
\sqrt{S}	$\sigma(\text{пб})$ (эксперимент)	$\sigma(\text{пб})$ (теория)
7	$173 \pm 3(\text{stat}) \pm 8(\text{syst}) \pm 6(\text{lumi})$	$177.3^{+4.7}_{-6.8}(\text{scale}) \pm 9$ (PDF+ α_s)
8	$240.6 \pm 1.4(\text{stat}) \pm 5.7(\text{syst}) \pm 6.2(\text{lumi})$	$252.9^{+6.4}_{-8.6}(\text{scale}) \pm 11.7$ (PDF+ α_s)
13	$836 \pm 27(\text{stat}) \pm 81(\text{syst}) \pm 100(\text{lumi})$	$832.0^{+20}_{-28}(\text{scale}) \pm 35$ (PDF+ α_s)

Сечения различных процессов рождения t -кварков



All results at: <http://cern.ch/go/pNj7>

Инклюзивные спектры



Измерения параметров t -кварков

Измерения событий с рождения пары $t\bar{t}$ с распадами на различные конечные состояния: дилептоны: $e\bar{e}$, $e\mu$, $\mu\mu$, $\ell + jets$: $e + jets$, $\mu + jets$ и $\ell + \tau$ позволяют измерять вероятности распада по различным каналам (\mathcal{B} , %)

\mathcal{B}	t -кварк	CM	W^\pm (LEP)
$t \rightarrow b j j$	66.5 ± 0.4 (stat) ± 1.3 (syst)	67.51 ± 0.007	67.48 ± 0.28
$t \rightarrow b e \nu$	13.3 ± 0.4 (stat) ± 0.5 (syst)	12.72 ± 0.01	67.48 ± 0.20
$t \rightarrow b \mu \nu$	13.4 ± 0.3 (stat) ± 0.5 (syst)	12.72 ± 0.01	12.60 ± 0.18
$t \rightarrow b \tau \nu$	7.0 ± 0.3 (stat) ± 0.5 (syst)	7.05 ± 0.01	7.2 ± 0.12

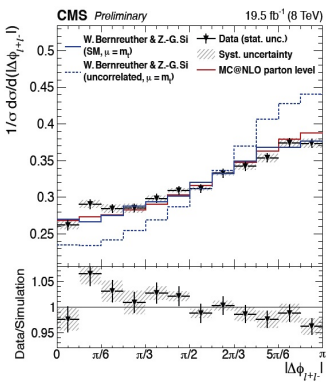
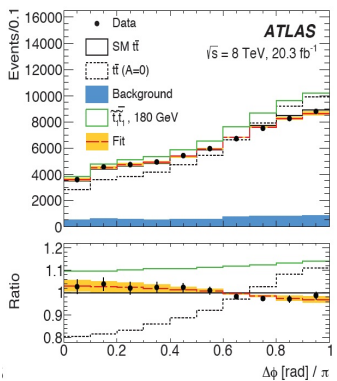
- CMS

$$pp \rightarrow t\bar{t}X, \quad t(\bar{t}) \rightarrow \ell^\pm j_b$$

$$R = \frac{\mathcal{B}(t \rightarrow b W)}{\sum_{q=s,d,s,b} \mathcal{B}(t \rightarrow q W)} = 1.014 \pm 0.003(stat) \pm 0.032(syst)$$

Измерения параметров t -кварков

- поляризованный t -кварк “передает” информацию о спине продуктов распада (угловые распределения)
- “на пороге” пара $t\bar{t}$ кварков образуется в основном с одинаковыми спиральностями, а при больших $\sqrt{S_{t\bar{t}}}$ - с противоположными
- $pp \rightarrow t\bar{t}X, \quad t \rightarrow \ell^+ X, \quad \bar{t} \rightarrow \ell^- X: \Delta\phi_{l+l^-}$ чувствительно к наличию поляризации кварков

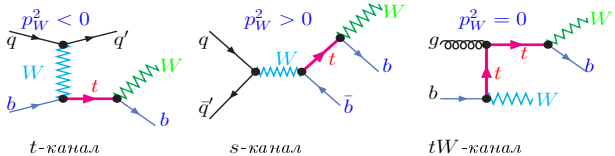


Электрослабый механизм рождения t -кварков

- сечения “одиночного” рождения t -кварков за счет EW составляет до 50% от КХД

$$\sigma_{t\text{-chan}}(t + \bar{t}) \simeq 218 \text{ пб}, \quad \sigma_{tW\text{-chan}}(t + \bar{t}) \simeq 70 \text{ пб}, \quad \sigma_{s\text{-chan}}(t + \bar{t}) \simeq 11 \text{ пб}$$

- три типа механизма рождения в зависимости от виртуальности W -бозона

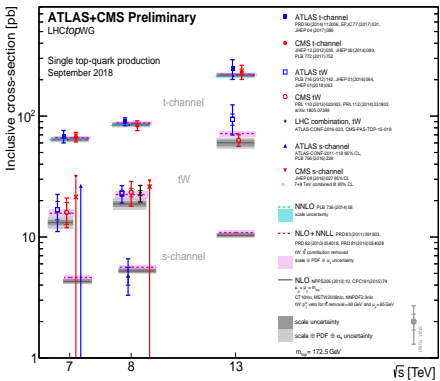
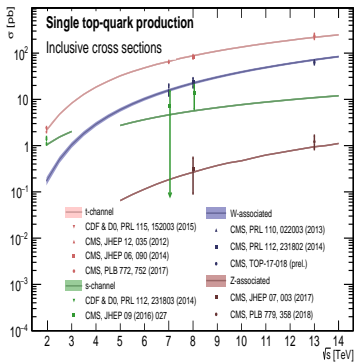


- сечения вычислены с NNLO точностью, при этом NNLO вносит небольшую поправку (взаимное сокращение КХД и EW)
- вычисления можно делать в 4F (без учета вклада начальных b -кварков) и 5F



$$\sqrt{s} = 13 \text{ ТэВ}, \quad \sigma_{t\text{-chan}}(5Fs) = 134.0^{+0.7}_{-0.6} \text{ пб}, \quad \sigma_{t\text{-chan}}(4Fs) = 127.0^{+2.0}_{-0.6} \text{ пб}$$

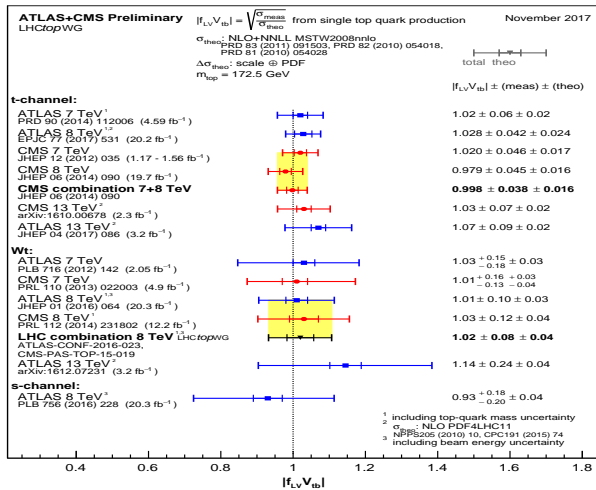
Электрослабый механизм рождения t -кварков



Измерение параметра $|V_{tb}|$

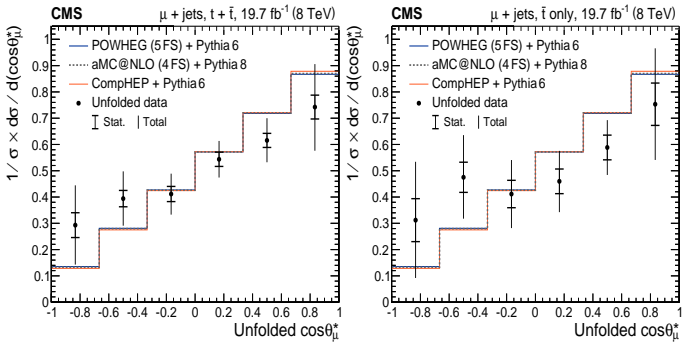
- сечение электрослабого рождения t -кварка: $\sigma_{EW}(tX) \propto |V_{tb}|^2$

$$\Rightarrow |V_{tb}|_{EW\ top} = 1.019 \pm 0.028$$



Измерение поляризации t -кварков

- CMS: поляризация t -кварка в процессах одиночного рождения: $b u \rightarrow d t (\rightarrow \ell^+ X)$
- распределения по $\cos \vartheta_\mu^*$ - между ℓ^\pm от распада t -кварка и легким кварком
- корреляции спиновых состояний в рождении t -кварка и в его распаде

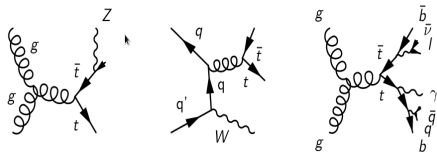


Рождение $t\bar{t}$ -кварков совместно с W/Z бозонами

процессы рождения $t\bar{t}$ совместно с векторными бозонами:

$$pp \rightarrow t\bar{t} + Z, \quad t\bar{t} + W^\pm, \quad t\bar{t} + \gamma, \quad \text{CDF : } \sigma(p\bar{p} \rightarrow t\bar{t}\gamma)_{\sqrt{S}=2 \text{ ТэВ}} = 180 \pm 80 \text{ фб}$$

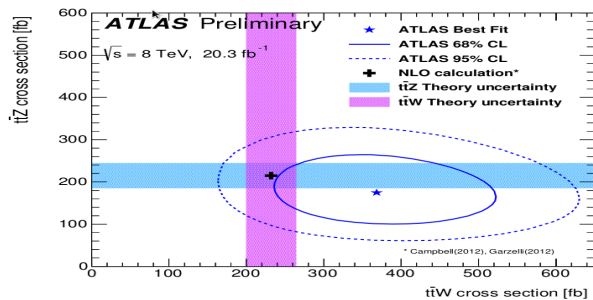
чувствительны к физике за рамками СМ



$\sigma(t\bar{t}V)$	ATLAS (фб)	CMS (фб)
$\sigma_{t\bar{t}\gamma}(7 \text{ ТэВ})$	$2000 \pm 500(\text{stat}) \pm 700(\text{syst})$	
$\sigma_{t\bar{t}\gamma}(8 \text{ ТэВ})$		$2400 \pm 200(\text{stat}) \pm 600(\text{syst})$
$\sigma_{t\bar{t}Z/\gamma^*}(7 \text{ ТэВ})$	< 700	$280^{+140}_{-110}(\text{stat})^{+60}_{-30}(\text{syst})$
$\sigma_{t\bar{t}Z/\gamma^*}(8 \text{ ТэВ})$	$150^{+55}_{-50}(\text{stat}) \pm 21(\text{syst})$	$200 \pm 90(\text{total})$
$\sigma_{t\bar{t}W}(8 \text{ ТэВ})$	$300^{+120}_{-100}(\text{stat})^{+70}_{-40}(\text{syst})$	$170^{+110}_{-100}(\text{total})$

Рождение $t\bar{t}$ -кварков совместно с W/Z бозонами

$\sqrt{S} = 8$ ТэВ	$\sigma(\text{CM}), \text{ фб}$	ATLAS (фб)	CMS (фб)
$t\bar{t} + \gamma$	1880 ± 500		
$t\bar{t}Z / \gamma^*$	215 ± 30	$176^{+52}_{-48}(\text{stat}) \pm 24(\text{syst})$	242^{+65}_{-55}
$t\bar{t}W$	232 ± 32	$369^{+86}_{-79}(\text{stat}) \pm 44(\text{syst})$	382^{+117}_{-102}



Роль t -кварков в исследовании расширений СМ

- в рамках СМ точность теоретических предсказаний для процессов рождения и распадов t -кварка составляет доли процента
- t -кварк практически со 100% вероятностью распадается по одному каналу $t \rightarrow bW$

В поисках проявлений НФ в секторе t -кварков тестируются все возможности:

- ◊ редкие (в рамках СМ) распады t -кварков;
- ◊ отклонения в сечениях рождения t -кварков (в рамках СМ);
- ◊ рождение t -кварков за счет очень редких реакций в СМ;
- ◊ распады t -кварков по отсутствующим в СМ каналам;
- ◊ новые частицы, распадающиеся в конечные состояния, содержащие t и/или \bar{t} -кварк и, возможно, другие частицы и резонансы.

Взаимодействия t -кварков за рамками СМ

- Многочисленные расширения СМ \Rightarrow различные предсказания в секторе t -кварков со своим специфическим набором типов взаимодействий и параметров (констант связи, массы новых объектов)
- Часто различные сценарии \Rightarrow процессы с одинаковыми конечными состояниями
- **Формализм эффективной теории поля** - эффективный (феноменологический)

Лагранжиан \mathcal{L}_{EFT}

калибровочно-инвариантный по отношению к калибровочной группе СМ

Лагранжиан аномальных взаимодействий t -кварков после спонтанного нарушения симметрии

$$\mathcal{L}_{EFT} = \mathcal{L}_{SM} + \kappa_4 \bar{\psi}_q \hat{O}^{(4)} \psi_t + \frac{\kappa_5}{\Lambda} \bar{\psi}_q \hat{O}^{(5)} \psi_t + \frac{\kappa_6}{\Lambda^2} \bar{\psi}_q \hat{O}^{(6)} \psi_t + \dots$$

где Λ - масштабный параметр НФ, κ - аномальные константы

- Экспериментальные результаты представляются в виде ограничений
 - ◊ на κ/Λ - величины аномальных констант взаимодействия
 - ◊ в виде пределов на вероятности редких распадов t -кварка

Поиск эффектов новой физики в за рамках СМ

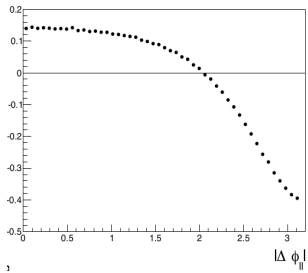
- $g t \bar{t}$
 - $t W b$
 - $t \rightarrow u(c) + V, V = g, \gamma, Z$
 - $t \rightarrow u(c) + H$
 - $t \rightarrow b + H^+$
-
- в рамках СМ отсутствуют на древесном уровне
 - сильно подавлены (петлевые вклады), либо отсутствуют (новые частицы, например H^\pm)
 - различные расширения СМ приводят существенному усилению таких процессов
 - для поиска, анализа и интерпретации результатов часто используется «модельно-независимый» анализ - феноменологические лагранжианы
 - различные модели \implies одинаковые типы взаимодействий
 - вычисления только на древесном уровне
 - аномальные константы $\implies \Lambda = \Lambda_{\text{НФ}} \sim 1 \text{ ТэВ}$ (формфакторы - ?)

Исследования взаимодействия $gt\bar{t}$

- отклонения от СМ в $gt\bar{t}$ взаимодействии может проявиться в распределения по энергиям и углам
- Феноменологический лагранжиан (с аномальным хромомагнитным моментом):

$$\mathcal{L}_{eff} = \mathcal{L}_{SM} - \frac{\tilde{\mu}_t}{2} \bar{\psi}_t \sigma^{\mu\nu} \psi_t G_{\mu\nu}^a$$

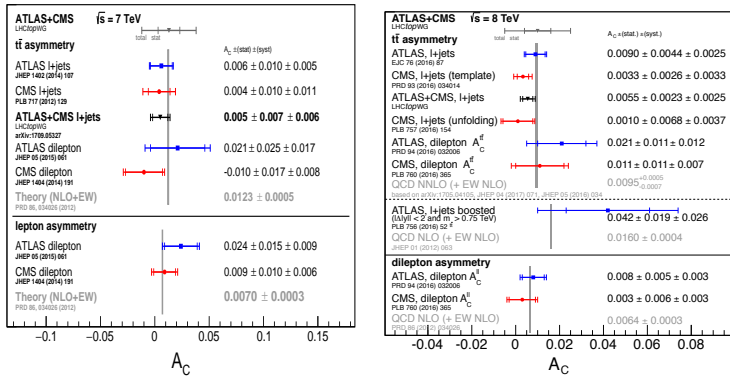
анализ распределения позволил получить ограничение $-0.50 < Re(\tilde{\mu}_t) < 0.070 (95\% CL)$



Ассиметрия в рождении t и \bar{t} кварков

- ассиметрия в рождении t и \bar{t} кварков

$$A_C = \frac{N(t) - N(\bar{t})}{N(t) + N(\bar{t})}$$

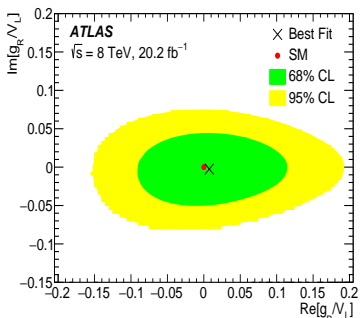
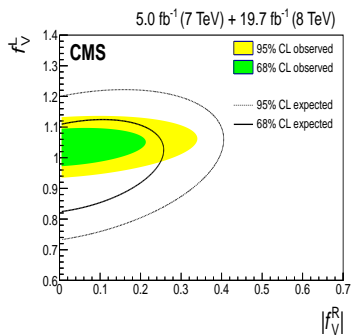


Аномальное $t W b$ взаимодействие

эффективный Лагранжиан взаимодействия

$$\mathcal{L}_{EFT} = \frac{g}{\sqrt{2}} \bar{b} \gamma^\mu (f_V^L P_L + f_V^R P_R) t W_\mu^- + \frac{g}{\sqrt{2}} \bar{b} \frac{\sigma^{\mu\nu}}{2M_W} (f_T^L P_L + f_T^R P_R) t W_{\mu\nu}^- + h.c.$$

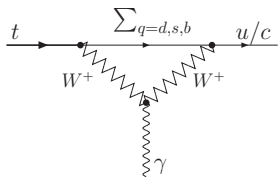
где $W_{\mu\nu}^- = \partial_\mu W_\nu^- - \partial_\nu W_\mu^-$, в рамках СМ: $f_V^L = V_{tb}$; $f_V^R = f_T^L = f_T^R = 0$



$$|f_V^R| < 0.16, \quad |f_T^L| < 0.057, \quad |f_T^R| < 0.048 \quad \text{at } 95\% \text{ CL}$$

Нейтральные токи с нарушением аромата tVq - FCNC

FCNC взаимодействия tVq , $V = g, \gamma, Z, H$ сильно подавлены в рамках СМ



	CM	two-Higgs	SUSY	экзотич. кварки
$BR(t \rightarrow qg)$	5×10^{-11}	$\sim 10^{-5}$	$\sim 10^{-3}$	$\sim 5 \times 10^{-4}$
$BR(t \rightarrow q\gamma)$	5×10^{-13}	$\sim 10^{-7}$	$\sim 10^{-5}$	$\sim 10^{-5}$
$BR(t \rightarrow qZ)$	$\sim 10^{-13}$	$\sim 10^{-6}$	$\sim 10^{-4}$	$5 \times \sim 10^{-2}$

Нейтральные токи с нарушением аромата tVq

модельно независимый анализ. Феноменологический Ларганжиан

$$\begin{aligned} \mathcal{L}_{FCNC} = & -e \sum_{q=u,c} \frac{\kappa_q^\gamma}{\Lambda} \bar{t} \sigma^{\mu\nu} (f_q^\gamma + i h_q^\gamma \gamma_5) q A_{\mu\nu} - g_s \sum_{q=u,c} \frac{\kappa_q^g}{\Lambda} \bar{t} \sigma^{\mu\nu} t^a (f_q^g + i h_q^g \gamma_5) q G_{\mu\nu}^a \\ & - \frac{g}{2 \cos \theta_W} \sum_{q=u,c} \kappa_q^Z \bar{t} \gamma^\mu (f_q^Z - h_q^Z \gamma_5) q Z_\mu - \frac{g}{2 \cos \theta_W} \sum_{q=u,c} \frac{\tilde{\kappa}_q^Z}{\Lambda} \bar{t} \sigma^{\mu\nu} (\tilde{f}_q^Z + i \tilde{h}_q^Z \gamma_5) q Z_{\mu\nu} \end{aligned}$$

ширины распадов равны:

$$\begin{aligned} \Gamma(t \rightarrow qg) &= \left(\frac{\kappa_q^g}{\Lambda} \right)^2 \frac{8}{3} \alpha_s m_t^3, \quad \Gamma(t \rightarrow q\gamma) = \left(\frac{\kappa_q^\gamma}{\Lambda} \right)^2 2\alpha m_t^3, \\ \Gamma(t \rightarrow qZ)_\gamma &= \left(\kappa_q^Z \right)^2 \frac{\alpha m_t^3}{4M_Z^2 \sin^2 2\theta_W} \left(1 - \frac{M_Z^2}{m_t^2} \right)^2 \left(1 + 2 \frac{M_Z^2}{m_t^2} \right), \\ \Gamma(t \rightarrow qZ)_\sigma &= \left(\frac{\tilde{\kappa}_q^Z}{\Lambda} \right)^2 \frac{\alpha m_t^3}{\sin^2 2\theta_W} \left(1 - \frac{M_Z^2}{m_t^2} \right)^2 \left(2 + \frac{M_Z^2}{m_t^2} \right) \end{aligned}$$

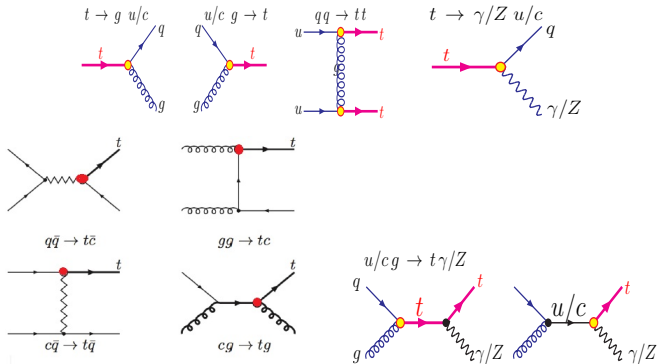
Нейтральные токи с нарушением аромата $t\bar{q}$, $t\gamma q$, tZq

- две метода поиска:
 - рождение пары $t\bar{t}$ (СМ) с последующим поиском редких распадов:

$$pp \rightarrow t\bar{t} : t \rightarrow qg, t \rightarrow q\gamma, t \rightarrow qZ$$

- образование t -кварков (FCNC-взаимодействие) с выделением СМ-распадов t -кварка

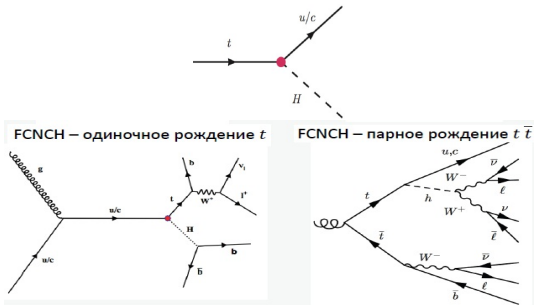
$$g u(c) \rightarrow t; uu \rightarrow tt; cg \rightarrow tg; qg \rightarrow t\gamma/Z; \dots t \rightarrow bW$$



Нейтральные токи с нарушением аромата tHq

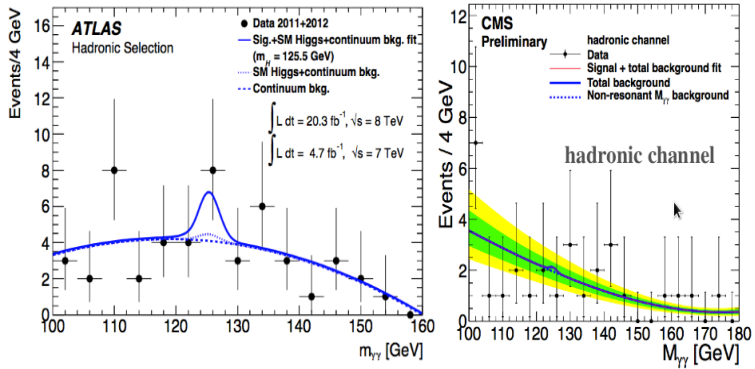
$$t \rightarrow H u/c \rightarrow \text{Higgs} + \text{FCNC} = \text{FCNH}$$

	CM	SUSY	MSSM	2HDM
$BR(t \rightarrow H c)$	3×10^{-15}	10^{-6}	10^{-5}	10^{-3}
$BR(t \rightarrow H u)$	2×10^{-17}	10^{-6}	8×10^{-5}	10^{-4}



Нейтральные токи с нарушением аромата tHq

$$pp \rightarrow t\bar{t}, \quad t \rightarrow Hq, \quad H \rightarrow \gamma\gamma$$

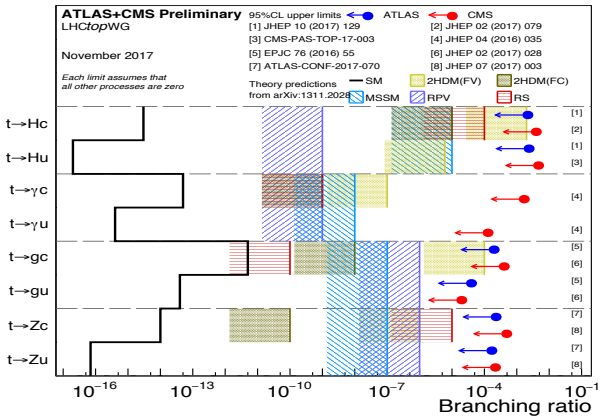


Нейтральные токи с нарушением аромата $t \rightarrow q H/g/\gamma/Z$

лучшие ограничения (2018) на аномальные FCNC взаимодействия в секторе t -кварков

канал	\mathcal{B} (95% CL)		канал	\mathcal{B} (95% CL)	
	ATLAS	CMS		ATLAS	CMS
$t \rightarrow Hu$	1.9×10^{-3}	4.7×10^{-3}	$t \rightarrow Hc$	1.6×10^{-3}	4.7×10^{-3}
$t \rightarrow gu$	4.0×10^{-5}	2.0×10^{-5}	$t \rightarrow gc$	20.0×10^{-5}	41×10^{-5}
$t \rightarrow \gamma u$		130×10^{-5}	$t \rightarrow \gamma c$		170×10^{-5}
$t \rightarrow Zu$	17×10^{-5}	22×10^{-5}	$t \rightarrow Zc$	24×10^{-5}	44×10^{-5}

Нейтральные токи с нарушением аромата $t \rightarrow q H/g/\gamma/Z$



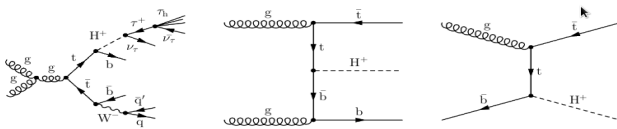
Вклад H^\pm в редкие процессы с t -кварками

- Лагранжиан взаимодействия заряженного бозона Хиггса H^\pm в MSSM

$$\mathcal{L} = \frac{g}{\sqrt{2}M_W} H^+ \{ V_{ud} \bar{u}(m_u \operatorname{ctg} \beta P_L + m_d \operatorname{tg} \beta P_R) d + \bar{\nu}(\tan \beta m_\ell P_R) \ell \}, \quad P_{L/R} = 1/2 (1 \mp \gamma^5)$$

- две области масс заряженного бозона

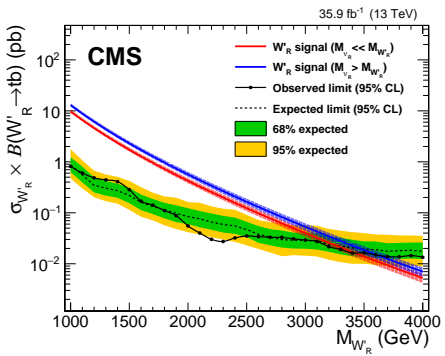
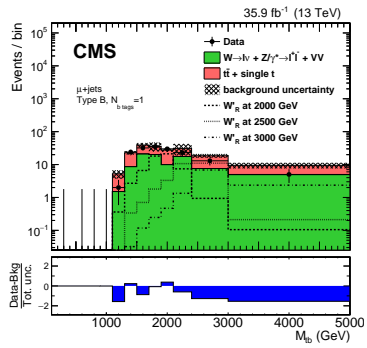
$$m_{H^\pm} = 80 - 160 \text{ ГэВ} : t \rightarrow H^\pm b \quad m_{H^\pm} > 180 \text{ ГэВ} : pp \rightarrow \bar{t} H^\pm b$$



	ATLAS	CMS
$m_H = 80 - 160$		
$B(t \rightarrow H^+ b)B(H^+ \rightarrow \tau\nu)$	0.23 – 1.3%	0.15 – 1.5%
$m_H = 180 - 1000$		
$\sigma(pp \rightarrow \bar{t}H^+)B(H^+ \rightarrow \tau\nu)$	0.76 – 4.5 nb	
$m_H = 180 - 600$		
$\sigma(pp \rightarrow \bar{t}H^+)B(H^+ \rightarrow \tau\nu)$		0.025 – 0.38 nb

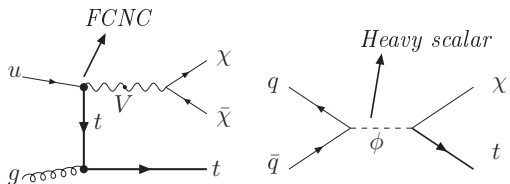
Поиск тяжелых частиц, распадающихся на t -кварки

- тяжелый заряженный векторный бозон W'

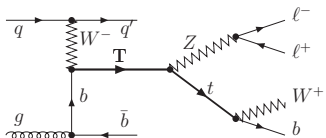


Поиск новых тяжелых частиц, распадающихся на t -кварки

SUSY теории предсказывают большое количество новых реакций с t -кварками в конечном состоянии. Одной из характеристик таких реакций является наличие большой “потерянной” энергии, уносимой новой нейтральной частицей. Например, реакции поиска рождения одиночного t -кварка с большой “потерянной” энергией (т.н. “моно-топ” можно использовать для поиска “темной материи”.

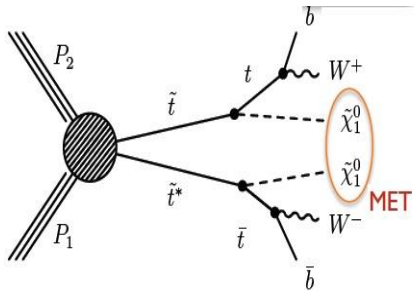


“векторные” t -кварки (T), распадающиеся на обычный t -кварк и Z -бозон



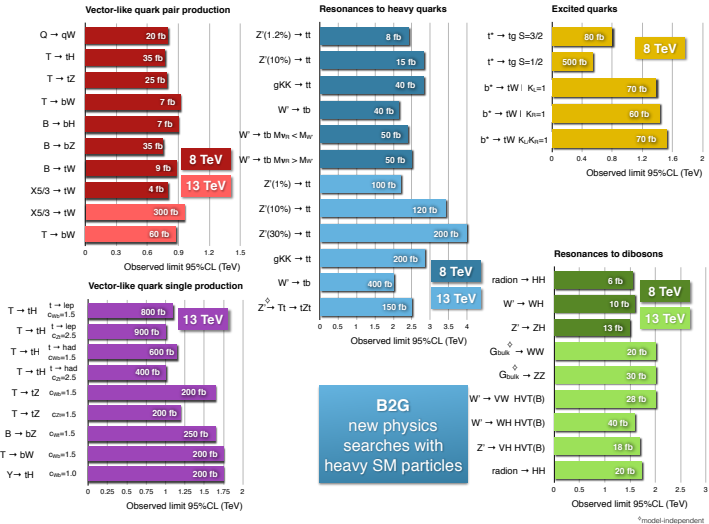
Поиск тяжелых частиц, распадающихся на t -кварки

Новые частицы могут изменить предсказания СМ. Например SUSY ($\tilde{t} \rightarrow t \chi_1^0$, $\text{spin}(\tilde{t}) = 0$)



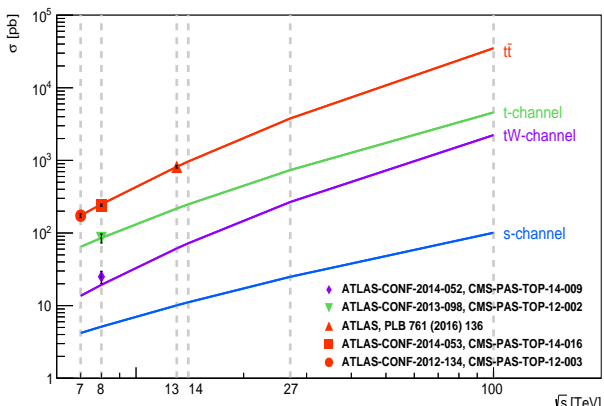
получено ограничение: $m_t \leq m_{stop} < 195$ ГэВ

Поиск тяжелых частиц, распадающихся на t -кварки



Физика t -кварков на будущих адронных коллайдерах

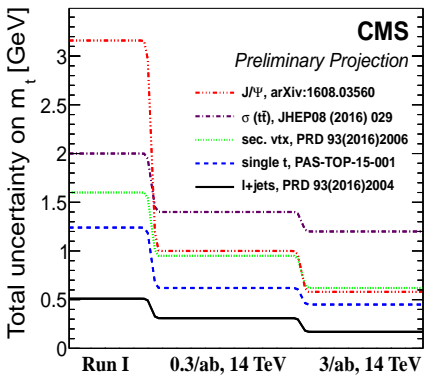
ускоритель	\sqrt{s} , ТэВ	$\mathcal{L}, \text{см}^{-2} \cdot c^{-1}$	$\int \mathcal{L}, \text{а} \cdot \text{б}^{-1}$	$\langle \mu \rangle$
LHC	7-13	$\approx 10^{34}$	0.3	10-40
HL-LHC	14	10^{35}	3	140-200
HE-LHC	27	2.5×10^{35}	12	800
SppC	75	1.2×10^{35}	15	400-500
FCC-hh	100	3×10^{35}	30	500-1000



Физика t -кварков на будущих адронных коллайдерах

ожидается существенное уменьшение ошибки в измерении массы t -кварка

$\int \mathcal{L} dt \text{ fb}^{-1}$	30	300	3000
$M_{inv}(b''W'')$	0.62	0.44	0.17
"end-point"	1.1	0.60	0.50
J/ψ	1.8	0.80	0.60



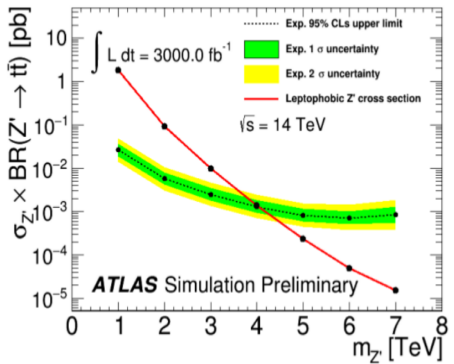
Физика t -кварков на будущих адронных коллайдерах

для HL-LHC верхние оценки (МК моделирование) для FCNC процессов (при 3000 фб^{-1})

процесс	\mathcal{B} , Run-2	\mathcal{B} , HL-LHC
$t \rightarrow uH$	49×10^{-4}	2.1×10^{-4}
$t \rightarrow cH$	16×10^{-4}	1.1×10^{-4}
$t \rightarrow u\gamma$	130×10^{-5}	0.9×10^{-5}
$t \rightarrow c\gamma$	170×10^{-5}	7.4×10^{-5}
$t \rightarrow uZ$	17×10^{-5}	13×10^{-5}
$t \rightarrow cZ$	24×10^{-5}	11×10^{-5}

Физика t -кварков на будущих адронных коллайдерах

- Topcolour Z' : $pp \rightarrow Z'_0 \rightarrow t\bar{t}$
- ATLAS: будет возможно исключить Z' для масс $M(Z'_0) < 4$ ТэВ



ЗАКЛЮЧЕНИЕ

- t -кварк - уникальный объем Стандартной модели
- все свойства (рождение и распады) описываются в рамках т.в. СМ с уникальной точностью ($d\sigma, d\Gamma, BR \ll \mathcal{O}(1\%)$)
- все свойства описываются в рамках СМ без дополнительных феноменологических параметров
- самый тяжелый объект СМ: $m_t \simeq 173.34$ ГэВ
- связь с другими поколениями очень мала $|V_{td}| \simeq 0.008, |V_{ts}| \simeq 0.04$
- самая большая юкововская константа связи в СМ

⇒ t -кварк – прекрасная лаборатория для поиска Новой физики

- аномальное взаимодействие: $tWb; tHq; t g/\gamma/Z q$
- новые тяжелые объекты $R(t\bar{t}), Q \rightarrow tX, \dots$
- ...

Благодарю за внимание !